

โอลด์เซลล์ทันแรงดันน้ำสำหรับเครื่องทดสอบการรับแรงเฉือนของดินแบบสามแกน

Submersible Load Cells for Triaxial Tests

ปิยะฉัตร ฉัตรตันใจ*

ชนม์พิสิทธิ์ ยาหัวມ

ชนกันต์ โคจรนา

ภาควิชานิเทศน์มีจุดประสงค์เพื่อศึกษาและการออกแบบโอลด์เซลล์ทันแรงดันน้ำขนาด 5 kN สำหรับเครื่องทดสอบ

หาค่าแรงเฉือนของดินแบบสามแกนซึ่งจะถูกออกแบบให้สามารถบรรจุโอลด์เซลล์ดังกล่าวเข้าไปภายในเซลล์ทดสอบเพื่อตัดปัญหาความผิดพลาดในการวัดแรงเฉือนจากแรงเสียดทานที่ผิวสัมผัสระหว่างแท่งเหล็กกดด้านบน (Piston) กับเซลล์ทดสอบ ในการออกแบบจะใช้วิธีไฟโนต์เอลิเมนต์เข้ามาช่วยในการวิเคราะห์การเสียรูปเพื่อหาความหนาของแผ่นวัดแรงที่เหมาะสมและตำแหน่งที่ดีที่สุดที่จะใช้ในการติดตั้งชุดสเตรนเกจ การศึกษาผลกระทบของแรงเสียดทานและแรงดันน้ำที่มีผลต่อการอ่านค่าแรงในแนวตั้งของโอลด์เซลล์ที่ประดิษฐ์ขึ้นจะทดสอบโดยการสอบเทียบการรับน้ำหนักของโอลด์เซลล์ผ่านสปริงที่ทำการสอบเทียบแล้ว โดยอุปกรณ์ทั้งสองจะถูกบรรจุเข้าไปในเซลล์ทดสอบค่าแรงเฉือนของดินแบบสามแกน การสอบเทียบนั้นทำโดยการเปลี่ยนแปลงค่าแรงดันน้ำภายในเซลล์ทดสอบและทำทั้งการเพิ่มขึ้นและลดลงของแรงกดจากผลการทดสอบพบว่าโอลด์เซลล์ทันแรงดันน้ำที่ได้รับการออกแบบในนิเทศน์มีความเป็นเส้นตรงและความแม่นยำดีมาก อีกทั้งยังสามารถกำจัดผลกระทบของแรงดันน้ำภายในเซลล์ทดสอบต่อการวัดค่าแรงกดในแนวตั้งรวมทั้งกำจัดความผิดพลาดที่เกิดขึ้นจากแรงเสียดทานทำให้การวัดค่าแรงกดมีความถูกต้องและแม่นยำมากยิ่งขึ้น

คำสำคัญ: โอลด์เซลล์ทันแรงดันน้ำ การทดสอบแรงอัดแบบสามแกน แรงในแนวตั้ง แรงเสียดทาน

Abstract : The main purpose of this research is to study and design a 5 kN artificial submersible load cell of triaxial tests. In order to eradicate the effect of the skin friction between piston bar and the triaxial cell on measured vertical load, this load cell was designed to install inside the triaxial cell. The finite element method was not only used to determine the suitable model geometry and the thickness of diaphragm but also the position for installation of strain gauges. The effect of skin friction and confining pressure were evaluated by a particular calibration method which the load cell and the calibrated spring were all placed inside the triaxial cell. The calibration processes were performed under several confining pressures and for loading and unloading conditions. According to the testing results, this artificial submersible load cells has very good linearity and accuracy and there is no effect on confining pressure and skin friction for measurement the high-accurate vertical load.

Keywords: Submersible Load Cells, Triaxial Compression Tests, Vertical Stress, Friction

1. บทนำ

งานด้านการทดสอบในสาขาวิศวกรรมปฐพีส่วนใหญ่นั้นมักจะเน้นไปที่การหาค่าความสามารถในการรับแรงเฉือนของดินเป็นหลัก ซึ่งการทดสอบที่ใช้กันอย่างแพร่หลายคือการทดสอบแรงอัดแกนเดียว (Unconfined Compression Test) การทดสอบแรงเฉือนแบบโดยตรง (Direct Shear Test) และการทดสอบการรับแรงเฉือนของดินแบบสามแกน (Triaxial Test) ซึ่งทั้งสามการทดสอบนี้จะมีการจำลองเงื่อนไขสภาพแวดล้อม (Boundary Condition) ที่แตกต่างกัน อย่างไรก็ตามทั้งสามการทดสอบนี้จะต้องมีการวัดค่าของแรงกระทำในแนวแกนซึ่งในอดีตนิยมใช้มาตรวัดแรงแบบวงแหวน (Proving Ring) ซึ่งทำหน้าที่ไม่ต่างจากสปริงที่มีความเป็นอิเล็กทริกเชิงเส้นสูง (Linear Elastic) เมื่อมีแรงกดในแนวแกนมากจะทำให้เกิดการยุบตัวซึ่งจะแปรผันตรงกับค่าแรงกระทำ ดังนั้นผู้ทดสอบจะทราบค่าแรงกระทำได้จากความสัมพันธ์ดังกล่าวโดยอ่านได้จากค่าการยุบตัวของไดอลเกจ (Dial Gauge) แต่เนื่องจากมาตรวัดแรงแบบวงแหวนนี้จะต้องอาศัยการอ่านด้วยตาซึ่งอาจเกิดความผิดพลาดทั้งด้านการอ่านค่าและจังหวะการอ่านตามเวลาที่

กำหนด หรือในการนี้ที่การทดสอบนั้นต้องใช้ระยะเวลาการทดสอบยาวนาน จึงไม่สะดวกที่จะต้องคarryเข้ามาอ่านค่าตามเวลาที่กำหนด ดังนั้นจึงมีการพัฒนาอุปกรณ์ที่สามารถทำการวัดแรงได้อย่างถูกต้องแม่นยำอีกทั้งยังมีความสามารถในการใช้งานเนื่องจากสามารถเก็บค่าแรงกดตามเวลาที่กำหนดแบบอัตโนมัติซึ่งอุปกรณ์นี้เรียกว่า “โหลดเซลล์” (Load Cell) โดยโหลดเซลล์ คือ อุปกรณ์ที่สามารถแปลงค่าแรงกด หรือแรงดึง เป็นสัญญาณทางไฟฟ้าได้ ซึ่งการเปลี่ยนพลังงานทางกลให้กลายเป็นการเปลี่ยนแปลงแรงดันไฟฟ้า (Voltage) จะต้องอาศัยเซนเซอร์ที่เรียกว่า “สเตรนเกจ” (Strain Gauge) ซึ่งมักจะต่อ กันเป็นวงจรแบบ “Full-Bridge” เพื่อให้สัญญาณไฟฟ้าที่ออกมาจากวงจรมีความชัดเจนที่สุด การนำโหลดเซลล์มาใช้งานในการทดสอบด้านวิศวกรรมปฐพีมักจะพบเห็นในการทดสอบการรับแรงเฉือนของดินแบบสามแกน ซึ่งจะต้องทำงานร่วมกับอุปกรณ์ขยายสัญญาณ (Amplifier) และระบบเก็บข้อมูลอัตโนมัติ (Data Acquisition) การติดตั้งโหลดเซลล์เข้าไปในเครื่องทดสอบแรงอัดแบบสามแกนนั้นแต่เดิมมักจะติดตั้งบริเวณด้านบนของเซลล์ทดสอบ (Triaxial Cell) และส่งถ่ายแรงผ่านแท่งคงสูตรอย่างดิน โดยที่ระหว่าง

ผิวสัมผัสของแท่งกด (Piston) กับตัวเซลล์ทดสอบน้ำจะมีระบบป้องกันการรั่วซึมของน้ำโดยใช้โอริง (O-Ring) ร่วมกับสารหล่อลื่น (Grease) เพื่อลดแรงเสียดทาน แต่อย่างไรก็ตามการวัดแรงระบบนี้ก็หลีกเลี่ยงความผิดพลาดในการวัดแรงเนื่องจากแรงเสียดทานไม่ได้ดังนั้น จึงมีการนำเอาโหลดเซลล์ทันเรցดันน้ำ (Submersible Load Cells) เข้ามาใช้โดยโหลดเซลล์ชนิดนี้ถูกออกแบบเพื่อติดตั้งภายในเซลล์ทดสอบ จึงสามารถตัดปัญหาความผิดพลาดในการวัดแรงในแนวแกนเนื่องจากแรงเสียดทานออกໄไปได้ Lai [3] ได้สรุปข้อดีของการติดตั้งโหลดเซลล์ทั้งสองระบบไว้ดังนี้

1.1 กรณีติดตั้งโหลดเซลล์ไว้ภายนอก

1) เนื่องจากความต้องการในการใช้งานโหลดเซลล์จะใช้เฉพาะตอนเนื่องตัวอย่างเท่านั้น ดังนั้นจึงสามารถใช้โหลดเซลล์เพียงตัวเดียวในการทดสอบแทนที่จะต้องใช้โหลดเซลล์หนึ่งตัวสำหรับเซลล์ทดสอบหนึ่งเซลล์

2) การติดตั้งแบบนี้จะสามารถเข้าถึงโหลดเซลล์ได้ง่ายเนื่องจากอยู่ภายนอก

3) ไม่เกิดปัญหานิริ่องของการกัดกร่อน (Corrosion) และลักษณะในสายสัญญาณ

1.2 กรณีติดตั้งโหลดเซลล์ไว้ภายนอก

1) ใน การทดสอบแบบทำซ้ำ (Cyclic Shear Tests) สามารถตัดความผิดพลาดในการวัดแรงที่สำคัญซึ่งจะเกิดขึ้นในขณะที่แท่งกดสลับทิศทางการกดอันจะทำให้ทิศทางของแรงเสียดทานเกิดการสลับทิศทางเข่นกัน

2) ใน การทดสอบแบบไดนามิก (Dynamic Tests) จะสามารถลดผลกระทบเนื่องจากแรงเมื่อยได้

3) ใน การทดสอบความคืบ (Creep) ซึ่งการเปลี่ยนแปลงของแรงเสียดทานบริเวณผิวแท่งกดนั้นมีความสำคัญเป็นอย่างมาก ซึ่งการติดตั้งโหลดเซลล์ไว้ภายนั้นจะทำให้การทดสอบมีความสะดวกมากขึ้นเนื่องจากจะทราบผลของแรงเสียดทานเนื่องจากการเปลี่ยนแปลงของแรงกระทำที่เปลี่ยนแปลงไปตามเวลา

4) การติดตั้งโหลดเซลล์ไว้ภายนในจะทำให้ผลการวัดมีความถูกต้องมากยิ่งขึ้น

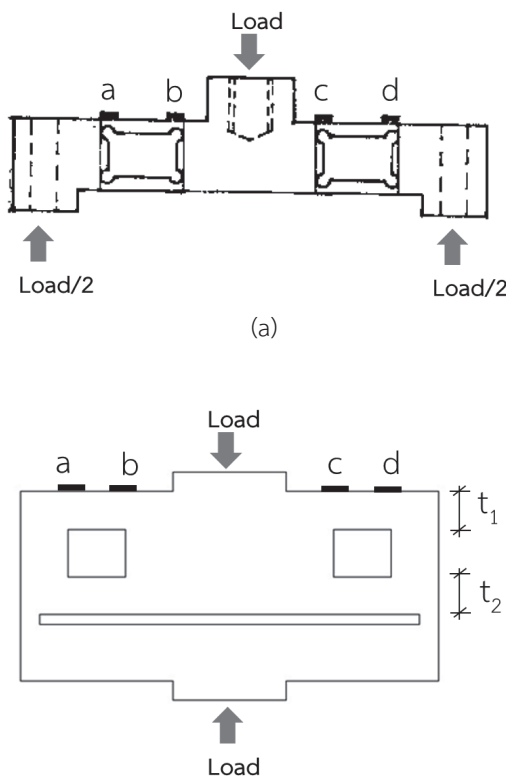
แต่อย่างไรก็ตามโหลดเซลล์ชนิดนี้มีราคาค่อนข้างสูงและต้องนำเข้ามาจากต่างประเทศ ดังนั้นในงานวิจัยนี้จึงได้ทำการศึกษาเพื่อประดิษฐ์โหลดเซลล์ทันเรցดันน้ำสำหรับเครื่องทดสอบแรงเฉือนของดินแบบสามแกน ขึ้น นอกจากนั้นยังทำการตรวจสอบประสิทธิภาพ ความแม่นยำ รวมทั้งศึกษาผลผลกระทบของแรงเสียดทานที่มีผลต่อการวัดแรงในแนวแกนอีกด้วย

2. การออกแบบโหลดเซลล์

2.1 รูปแบบโหลดเซลล์

รูปแบบโหลดเซลล์ที่นำมาเป็นพื้นฐานในการพัฒนาและออกแบบในการศึกษานี้ เป็นโหลดเซลล์ที่ถูกใช้งานโดย Kongkitkul [1] ซึ่งรูปแบบได้รับการปรับปรุงและพัฒนาจากโหลดเซลล์ของ Tatsuoka และคณะ [2] ทั้งแสดงในภาพที่ 1

จากรูปแบบทั้งสองจะพบว่าหลักการออกแบบนั้นไม่ได้มีความแตกต่างใดๆ คือยังคงอาศัยหลักการเสียรูปของคานช่วงเดียวกับที่รับแรงที่จุดกึ่งกลางคานแต่จะแตกต่างกันที่รูปแบบของ Kongkitkul [1] จะเป็นลักษณะคานสองชั้นซึ่งมีต่อระหง่านโดยมีระยะห่างที่เหมาะสม จึงทำให้มีเสียรูปในการรับแรงมากกว่าและสามารถย้ายไปติดตั้งในอุปกรณ์อื่นๆ ได้สะดวกกว่า ในกรณีที่แรงกระทำเป็นแรงอัดจะทำให้จุด a และ d เกิดความเค้นดึง (Tensile Strain) สูงสุด ส่วน จุด b และ c เกิดความเค้นอัด (Compressive Strain) สูงสุด ดังนั้นตำแหน่งดังกล่าวจะถูกติดตั้งสเตรนเกจซึ่งจะทำให้สัญญาณไฟฟ้าที่ออกมามีความไวตัว (Sensitive) สูงสุด

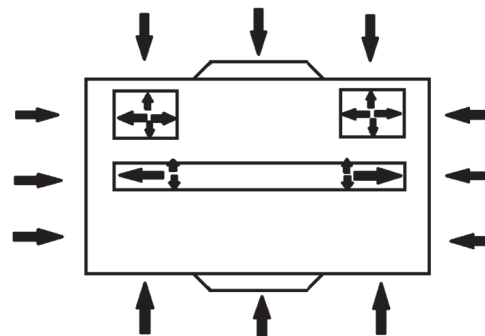


ภาพที่ 1 รูปแบบโหลดเซลล์ (a) Tatsuoka และคณะ [2] และ (b) Kongkitkul [1]

2.2 ลักษณะของแรงดันน้ำ

จากข้อดีของการติดตั้งโหลดเซลล์ไว้ภายในเซลล์ทดสอบดังที่กล่าวมาแล้วในข้างต้น วัตถุประสงค์หลักของงานวิจัยนี้จึงต้องการออกแบบโหลดเซลล์ที่สามารถทำงานอยู่ภายใต้สภาวะแรงดันน้ำภายในเซลล์ทดสอบ (Confining Pressure หรือ Cell Pressure) สำหรับการทดสอบแรงเฉือนของดินแบบสามแกนนั้น เมื่อการเฉือนใช้ทางเดินของหน่วยแรงแบบดั้งเดิม (Conventional Triaxial Stress Path) ระหว่างการเฉือนดิน ค่าแรงดันน้ำภายในเซลล์ทดสอบจะคงที่ แต่กรณีที่ใช้ทางเดินของหน่วยแรงที่แตกต่างออกไป ค่าแรงดันน้ำภายในเซลล์จะไม่คงที่ระหว่างการเฉือนซึ่งขึ้นอยู่กับมูลของเส้นทางเดินของหน่วยแรง (Stress Path) ที่ใช้ ดังนั้นโหลดเซลล์ที่บรรจุอยู่ภายในเซลล์ทดสอบนอกจากจะต้องมีการป้องกันการ

ซึมผ่านของน้ำเข้ามาในวงจรไฟฟ้าและสายสัญญาณแล้ว ยังต้องปราศจากผลกระทบใดๆ สำหรับการวัดแรงในแนวตั้งเนื่องจากแรงดันน้ำที่เปลี่ยนแปลงไประหว่างทำการเฉือน จากภาพที่ 2 จะพบว่า เมื่อมีแรงดันน้ำกระทำกับโหลดเซลล์จะเกิดสภาวะสมดุลที่จุดวัดแรง (a, b, c และ d ในภาพที่ 1) และไม่เกิดการเสียรูป ดังนั้นจึงไม่เกิดการเปลี่ยนแปลงค่าแรงดันไฟฟ้าข้าม กเนื่องจากแรงดันน้ำกระทำเท่ากันทุกทิศทางและโหลดเซลล์ที่ออกแบบนั้นมีช่องหดหดหักกัน ดังนั้นโหลดเซลล์รูปแบบนี้จึงมีความเป็นไปได้ที่จะไม่มีผลกระทบใดๆ ในการวัดแรงในแนวแกน เนื่องจากแรงดันน้ำรอบข้างที่เปลี่ยนแปลงไป



ภาพที่ 2 โหลดเซลล์เมื่อถูกแรงดันน้ำกระทำเท่ากันทุกทิศทาง

2.3 การออกแบบด้วยระบบวิธีไฟน์เตอร์โอลิเมนต์

การออกแบบโหลดเซลล์โดยใช้วิธีวิเคราะห์ด้วยระบบวิธีไฟน์เตอร์โอลิเมนต์นั้นทำโดยผู้วิจัยหลายท่าน ซึ่งมีรูปแบบแตกต่างกันออกไป (สุกิจ รูปขันธ์ [5], สราวุธ เรืองกิจตระการ [6] และเพ็มศักดิ์ เกตุนวน [7]) งานวิจัยนี้ใช้ระบบวิธีไฟน์เตอร์โอลิเมนต์เพื่อการออกแบบโหลดเซลล์ เช่นกันโดยอาศัยรูปแบบเดียวกับ Kongkitkul [1] จากหัวข้อ 2.1 ได้แสดงรูปแบบโหลดเซลล์และบริเวณที่จะเกิดความเห็นตึงและอัดสูงสุด แต่สิ่งที่สำคัญอีกประการหนึ่งคือ ค่าความหนาของ t_1 และ t_2 (ภาพที่ 1(b)) ที่เหมาะสม เนื่องจากต้องการรักษาคุณสมบัติการยืดหยุ่นแบบเป็นเส้นตรง (Linear Elastic) ของตำแหน่งวัดแรง (จุด a, b, c และ d ในภาพที่ 1) เมื่อได้รับแรงกระทำสูงสุด อีกทั้ง

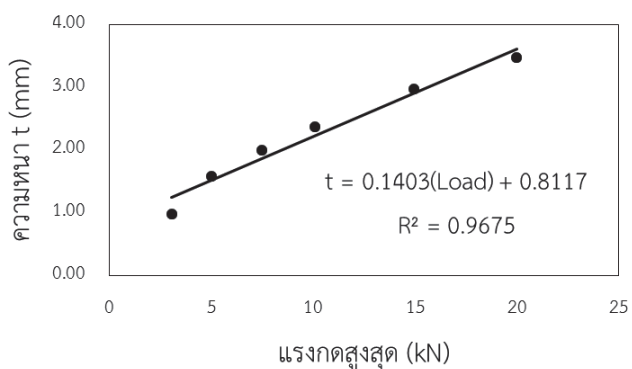
ยังต้องการให้ผลการวัดมีความละเอียดสูงสุดเช่นกัน ดังนั้นงานวิจัยนี้ใช้ระบบไฟฟ้าเพื่อปรับเปลี่ยนแรงดึงตัวของวัสดุที่ต้องการได้ตามที่ต้องการ ค่าความเค้นดึงและอัตราสูงสุดที่เกิดขึ้นโดยค่าดังกล่าวจะต้องไม่เกินค่าจุดคลาก (Yield Stress) ในที่นี้สแตนเลสเกรด 304 มาเป็นวัสดุขั้นรูปโลหดเซลล์ซึ่งมีคุณสมบัติทางกลดังแสดงในตารางที่ 1 แบบจำลองคณิตศาสตร์ (Constitutive Model) จะใช้แบบยืดหยุ่นเป็นเส้นตรง (Linear Elastic) และเพื่อให้ง่ายต่อการวิเคราะห์จะใช้ความหนา $t_1 = t_2 = t$ การวิเคราะห์จะทำการเปลี่ยนความหนา t ที่ตำแหน่งวัดแรงตึงแต่ 1 ถึง 3.5 มิลลิเมตร จนกว่าทำการหาค่าแรงกดสูงสุดที่โลหดเซลล์รับได้โดยไม่ทำให้เกิดการเสียรูปถาวรขึ้นบนชิ้นส่วนของโลหดเซลล์ ผลการวิเคราะห์แสดงในภาพที่ 3 พบร่วมกับว่าตำแหน่งที่เกิดค่าความเค้นดึงและอัตราสูงสุดนั้นจะต้องวัดห่างออกจากมุมแต่ละด้านเป็นระยะเท่ากับความหนา t และความสัมพันธ์ระหว่างค่าแรงกดสูงสุดกับความหนา t นั้นแสดงในภาพที่ 4

ตารางที่ 1 คุณสมบัติทางกลของสแตนเลสเกรด 304

ประเภทข้อมูล	ค่าที่ใช้ในการวิเคราะห์
Density (kg/m^3)	8000
Young's Modulus (GPa)	190
Yield Strength (MPa)	240
Tensile Strength (MPa)	520
Poisson's ratio	0.29

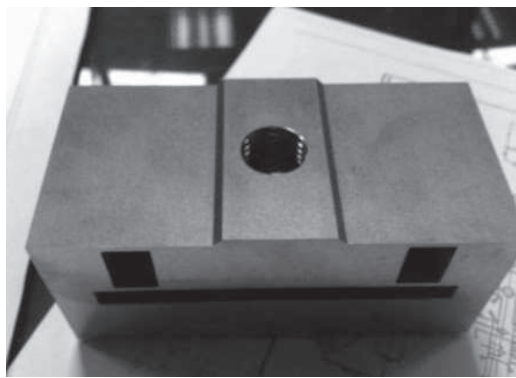


ภาพที่ 3 ลักษณะการเสียรูปจากการวิเคราะห์ด้วยระบบไฟฟ้าเพื่อปรับเปลี่ยนความหนา

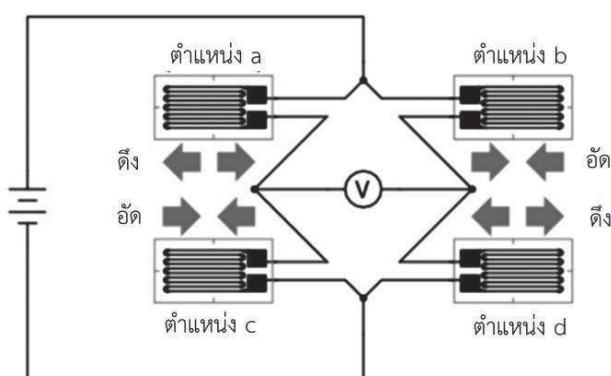


ภาพที่ 4 ความสัมพันธ์ระหว่างค่าแรงกดสูงสุดกับความหนา t

ในการศึกษาครั้งนี้ต้องการโลหดเซลล์ที่สามารถรับแรงในแนวตั้งได้ 5 kN เมื่อนำไปแทนในสมการความสัมพันธ์ระหว่างค่าแรงกดสูงสุดกับความหนา t พบร่วมกับว่าจะต้องใช้ความหนา $t_1 = t_2 = 1.51$ มิลลิเมตร ซึ่งในที่นี้เพิ่มความหนาเข้าไปอีก 30 เปอร์เซ็นต์เป็นค่าความปลอดภัย ดังนั้นจะใช้ $t = 1.95$ มิลลิเมตร หรือ 2.0 มิลลิเมตร ทั้งนี้หลังจากการวิเคราะห์หากความหนาแล้วก็จะทำการขีนรูปโลหะด้วยเครื่อง Wire Cut ดังแสดงในภาพที่ 5 หลังจากนั้นทำการติดตั้งชุดสเตรนเกจในตำแหน่งที่กำหนดแล้วทำการเชื่อมต่อวงจรไฟฟ้าแบบ Full-Bridge ดังแสดงในภาพที่ 6



ภาพที่ 5 โอลด์เซลล์ที่ถูกขึ้นรูปโดยเครื่อง Wire cut



ภาพที่ 6 การเชื่อมต่อวงจรไฟฟ้าแบบ Full-Bridge

3. การสอบเทียบภายใต้แรงดันบรรยากาศ

การสอบเทียบภายใต้แรงดันบรรยากาศทำโดยใช้เครื่อง Oedometer ที่มีอัตราส่วนการให้แรงเท่ากับ 1 : 10 เพื่อสร้างแรงกดในแนวตั้งให้กับโอลด์เซลล์ เมื่อโอลด์เซลล์ถูกกดก็จะเกิดสัญญาณความต่างศักย์ไฟฟ้าขึ้น แต่เนื่องจากสัญญาณมีขนาดเล็กมากจึงต้องนำสัญญาณที่ได้ส่งไปยังเครื่องขยายสัญญาณ (Amplifier) เพื่อขยายสัญญาณให้มีขนาดใหญ่ขึ้น จากนั้นส่งสัญญาณที่ขยายแล้วไปยัง Data Acquisition (DAQ) เพื่อแปลงจาก

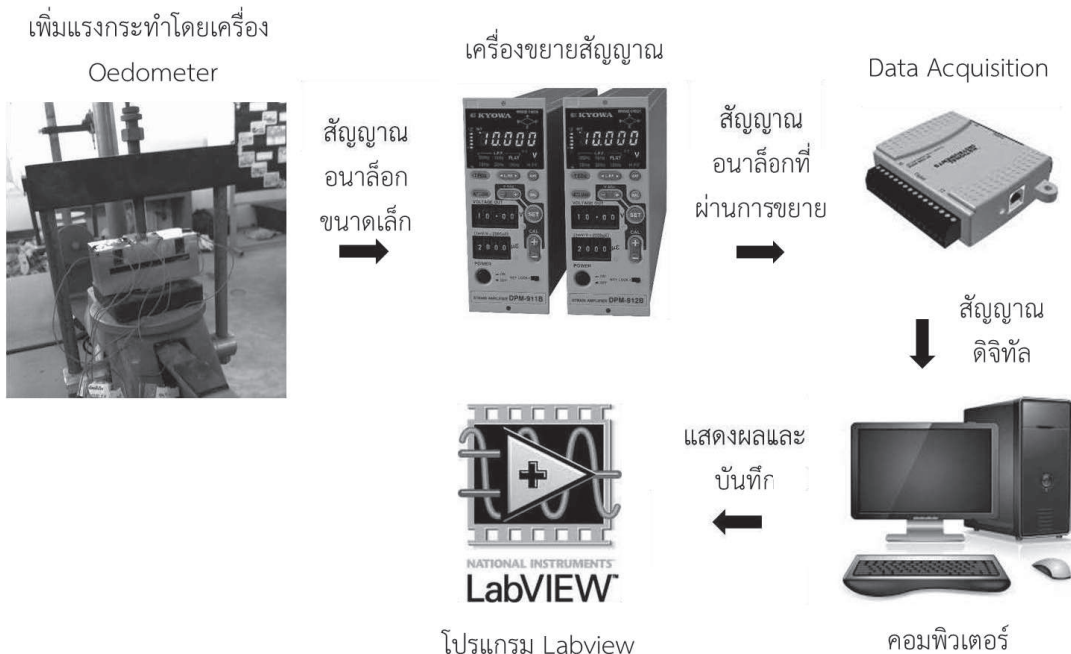
สัญญาณแรงดันไฟฟ้าแบบอนาล็อก (Analog) ให้เป็นสัญญาณดิจิตอล (Digital) และส่งต่อไปยังคอมพิวเตอร์เพื่อแสดงค่าและบันทึกผลด้วยโปรแกรม LabVIEW โดยผังอุปกรณ์นั้นแสดงในภาพที่ 7

การสอบเทียบนี้เพื่อถูกความเป็นเส้นตรง (Linearity) และค่าความละเอียดในการวัดโดยจะทำการเพิ่มขึ้นและลดลงของแรงกระทำ ค่าแรงกดสูงสุดที่ใช้ทดสอบเท่ากับ 4 kN และทำการเพิ่มแรงขึ้นและลดแรงลงครั้งละ 0.25 kN ผลความแม่นยำพื้นฐานระหว่างค่าแรงกดในแนวตั้งกับความต่างศักย์ไฟฟ้าที่วัดได้แสดงดังภาพที่ 8 และสามารถเขียนเป็นสมการเส้นตรงมีค่า $R^2 = 0.9999$ ได้ดังสมการที่ 1

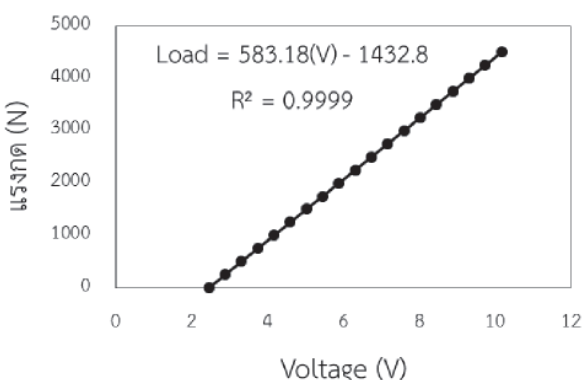
$$\Delta \text{ Axial Load} = 583.18 \times \Delta \text{ Volt}_{out} \quad (1)$$

4. การทดสอบประสิทธิภาพโอลด์เซลล์ภายใต้สภาวะแรงดันน้ำ

เนื่องจากโอลด์เซลล์นี้ต้องนำไปบรรจุในเซลล์ของเครื่องทดสอบแรงเนื่องของดินแบบสามแกน ซึ่งจะต้องทำงานภายใต้แรงดันน้ำในสภาวะต่างๆ ดังได้อธิบายไว้ในตอนต้น ดังนั้นในขั้นตอนการทดสอบนี้ ทั้งวงจรไฟฟ้าและสายสัญญาณจะต้องถูกป้องกันการชื้นของน้ำ ไม่เข่นน้ำน้ำจะสามารถเข้าไปในจุดที่ติดตั้งชุดสเตรนเกจซึ่งมีวิธีริไฟฟ้า เมื่อสัมผัสกับน้ำจะเกิดการการลัดวงจรและสร้างความเสียหายกับอุปกรณ์อื่นๆ ได้ ในที่นี้จะใช้ SB-TAPE (Coating Materials) ปิดทับจุดที่ตั้งชุดสเตรนเกจรวมไปถึงจุดต่อระหว่างสายสัญญาณกับตัวโอลด์เซลล์เพื่อไม่ให้น้ำซึมเข้าไปในสายสัญญาณได้



ภาพที่ 7 ผังอุปกรณ์และวิธีที่ใช้ในการสอบเทียบโหลดเซลล์รายได้แรงดันบรรยายกาศ



ภาพที่ 8 ความสัมพันธ์ระหว่างค่าแรงกดในแนวตั้งกับความต่าง
ศักยภาพไฟฟ้า

เพื่อจำลองสภาพที่โหลดเซลล์จะถูกแรงดันน้ำกระทำโดยรอบ ถังอัดแรงดันน้ำที่สามารถสร้างแรงกดให้กับโหลดเซลล์และสร้างแรงดันน้ำโดยรอบโหลดเซลล์จึงถูกออกแบบและสร้างขึ้นดังภาพที่ 9 โดยมีองค์ประกอบหลักๆ คือ

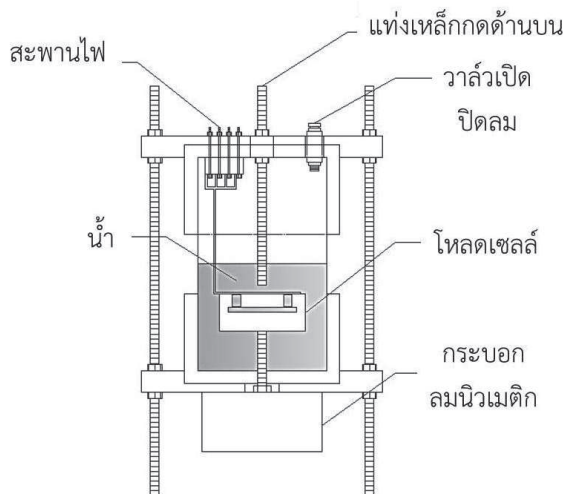
1) ถังอัดความดันซึ่งสร้างขึ้นจากห่อ PVC ที่ทนแรงดันน้ำได้ 13 bar ปิดหัวและห้ายด้วยฝาปิดห่อ PVC ซึ่งจะถูกบีบอัดด้วยแผ่นเหล็กวงกลมหนา 20 มิลลิเมตร และใช้เสาสตัดเกรียวติด (Full Thread Stud Bolt) ในการสร้างแรงกด เพื่อความปลอดภัยและป้องกันไม่ให้ฝาปิดห่อ PVC โถงตัว การสร้างแรงดันน้ำนั้นจะทำการอัดแรงดันลมผ่านช่องที่ติดตั้ง瓦ล์วเปิดปิดบริเวณด้านบนของถังเพื่อให้ลมไปกดผิวของน้ำซึ่งเติมเข้าไปก่อนหน้านี้ โดยบีมไม้น้ำที่ใส่เข้าไปจะต้องเพียงพอที่จะห่วงตัวโหลดเซลล์ทั้งหมด

2) สะพานไฟซึ่งมีหน้าที่นำสัญญาณไฟฟ้าจากโหลดเซลล์ที่บรรจุอยู่ในถังแรงดันน้ำออกมายังเข้าสู่อุปกรณ์ขยายสัญญาณโดยไม่ทำให้เกิดการร้าวซึมของแรงดันและต้องไม่ทำให้เกิดการลัดวงจรของระบบไฟฟ้า โดยสะพานไฟนี้ทำขึ้นจากวัสดุที่เป็นฉนวนไฟฟ้าและถูกสอดใส่ด้วยแท่งสแตนเลสจำนวนเท่ากับจำนวนของช่องสัญญาณ

3) ระบบลมนิวเมติก (Pneumatic Cylinder) ซึ่งจะถูกยึดกับแผ่นเหล็กด้านล่าง ส่วนปลายของแท่งกด

จะถูกยึดเข้ากับໂหลດເໜລີ່ພໍວໃຫ້ຢູ່ໃນຕຳແໜ່ນໆໂດຍດ້ານບນຂອງໂຫລດເໜລີ່ຈະມີແຕ່ງກົດຢືນແຕ່ງໜຶ່ງຈະຄູກຍືດໄວ້ກັບແຜ່ນເໜັກດ້ານບນ ເນື້ອທຳການວັດລົມເຂົ້າໄປໃນກະບົກນິວເມຕີກ ໂຫລດເໜລີ່ຈະຍົກຕ້າງໜຶ່ງໄປດ້ານກັບແຕ່ງເໜັກດ້ານບນ ສີ່ງເປັນວິວີສ້າງແຮງໃນແນວແກນໃຫ້ກັບໂຫລດເໜລີ່

ຊຸດຄວບຄຸມແຮງດັນລົມຈະທຳທຳນ້າທີ່ຈ່າຍແຮງດັນລົມໃຫ້ກັບກະບົກນິວເມຕີກທີ່ຕິດຕັ້ງອູ່ດ້ານລ່າງ ນອກຈາກນັ້ນ ຍັງມີທຳນ້າທີ່ຈ່າຍແຮງດັນລົມໃຫ້ກັບຄົງວັດແຮງດັນເພື່ອສ້າງແຮງດັນນ້ຳທີ່ກະທຳໄດ້ຍອບໂຫລດເໜລີ່ ການສັ່ງຈານຊຸດຄວບຄຸມລົມຈະກະທຳຜ່ານຮະບບຄອມພິວເຕອີຣ໌ເພື່ອຄວາມສະດວກແລະແມ່ນຍຳ ເນື້ອພິຈານາຫຼາດທີ່ດັ່ງກ່າວໂຫລດເໜລີ່ ໃນກາພທີ່ 10 ການຄໍານວນຄ່າແຮງດັນລົມທີ່ຕ້ອງຈ່າຍໃຫ້ກັບກະບົກນິວເມຕີກເພື່ອສ້າງແຮງດັນລົມທີ່ຕ້ອງການສາມາດຄໍານວນໄດ້ຈາກສົມກາຣທີ່ 2



ກາພທີ່ 9 ຄົງວັດແຮງດັນນ້ຳ

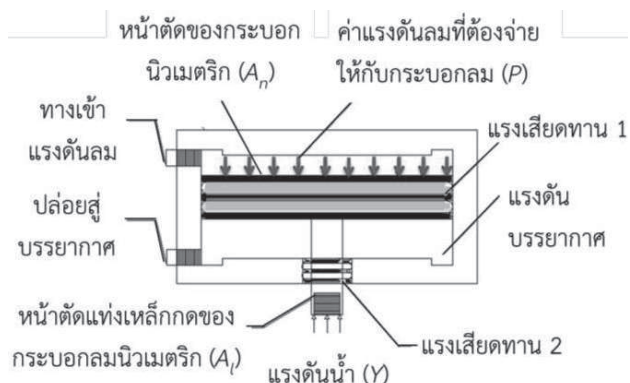
$$\frac{Load_{calculate}}{1000 \times A_n} + \frac{Y \times A_l}{A_n} = P \quad (2)$$

ໂດຍທີ່

$Load_{calculate}$ ຄ່ອຄ່າແຮງດັນນ້ຳທີ່ຕ້ອງການກົດລົມໂຫລດເໜລີ່ (N)
 A_n ຄ່ອພື້ນທີ່ຫຼາດທີ່ດັ່ງກ່າວໂຫລດນິວເມຕີກ (m^2)

A_l	ຄ່ອພື້ນທີ່ຫຼາດທີ່ດັ່ງກ່າວເໜັກດ້ານບນ
	ກະບົກນິວເມຕີກ (m^2)
Y	ຄ່ອຄ່າແຮງດັນນ້ຳໃນຄົງວັດແຮງດັນ (kPa)
P	ຄ່ອຄ່າແຮງດັນລົມທີ່ຕ້ອງຈ່າຍໃຫ້ກັບກະບົກນິວເມຕີກ (kPa)

ຂັ້ນຕອນການທົດສອບຈະເຮີມຈາກການປ່ລ່ອຍແຮງດັນລົມເຂົ້າໄປໃນຄົງວັດແຮງດັນເພື່ອສ້າງແຮງດັນນ້ຳ ຄ່ອຄ່າແຮງດັນນ້ຳທີ່ໃຊ້ໃນກະສົການນີ້ອູ່ຮ່ວງ 0 – 750 kPa ສີ່ງຈະກຳການເປີ່ມແປລັງແປລັງຄົງລະ 50 kPa ໃນທຸກຄົງທີ່ມີການທົດສອບ ເນື້ອໄດ້ຄ່ອຄ່າແຮງດັນນ້ຳທີ່ຕ້ອງການກຳທຳການເພີ່ມແຮງດັນລົມເຂົ້າໄປໃນກະບົກນິວເມຕີກເພື່ອເພີ່ມແຮງດັນລົມໃຫ້ກັບໂຫລດເໜລີ່ ໃນທີ່ນີ້ກຳທຳການໃຫ້ແຮງດັນລົມເຂົ້າໄປໃນກະບົກນິວເມຕີກເພື່ອເພີ່ມແຮງດັນລົມໃຫ້ກັບໂຫລດເໜລີ່ ກ່ອນທີ່ 600 N (ຈາກການຄໍານວນດ້ວຍສົມກາຣທີ່ 2) ເພື່ອໃຫ້ຮະບບແນບສົນທັກນີ້ຈາກນັ້ນເພີ່ມແຮງດັນລົມໄປຈຸນລື້ງ 4,100 N

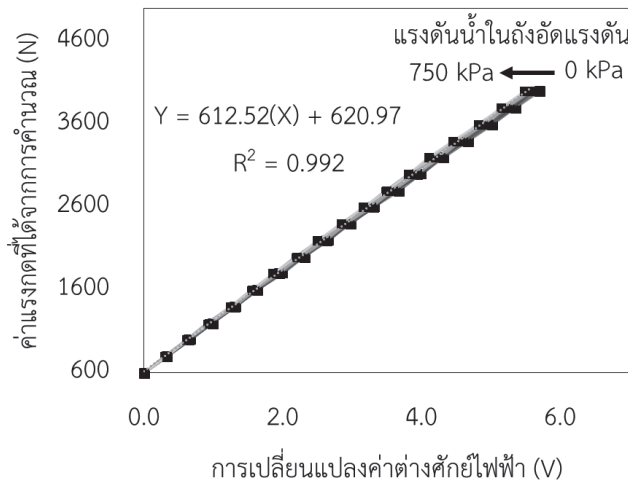


ກາພທີ່ 10 ຮູບຕັດກະບົກນິວເມຕີກ

ກາພທີ່ 11 ແສດຜລຄວາມສັ້ນນັ້ນຮ່ວງຄ່າແຮງດັນນ້ຳທີ່ດັ່ງກ່າວໃຫ້ກັບກະບົກນິວເມຕີກທີ່ 2 ເພື່ອເປີ່ມແປລັງຄົງວັດແຮງດັນນ້ຳ ທີ່ກະທຳກຳທຳໂຫລດເໜລີ່ທີ່ແຕກຕ່າງກັນ ພບວ່າຍັງມີຄວາມເປັນເສັ້ນຕຽງທີ່ແລະມີຄ່າຄວາມຂັ້ນ (Slope) ເນື້ອອູ່ຮ່ວງ 612.52 ກາພທີ່ 12 ແສດຄວາມສັ້ນນັ້ນຮ່ວງຄວາມຂັ້ນຂອງກາພ

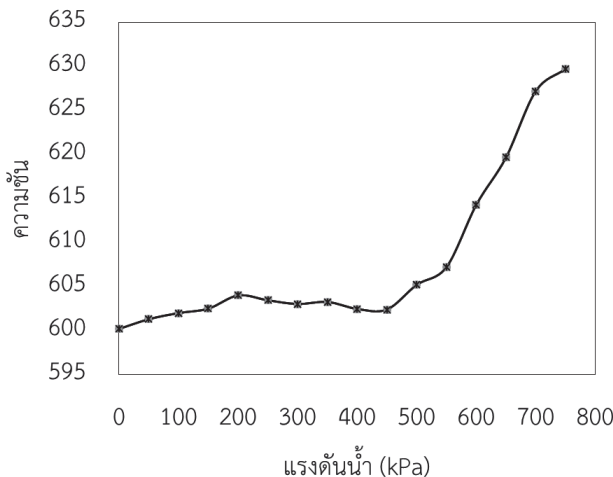
ในแต่ละการทดสอบ กับค่าแรงดันน้ำที่กระทำโดยรอบ โหลดเซลล์เพื่อตัดผลกระทบของแรงดันต่อการวัดแรงในแนวตั้ง

เมื่อนำความชันของกราฟ (ภาพที่ 8) ที่ทำการสอบเทียบภายใต้แรงดันบรรยายกาศซึ่งมีค่าเท่ากับ 583.18 มาเปรียบเทียบกับค่าความชันเฉลี่ยที่ได้จากการทดสอบครั้งนี้จะพบว่ามีความแตกต่างกันถึง 5.03% ซึ่งเป็นผลมาจากการทดสอบนี้มีการย้ายตำแหน่งอุปกรณ์ทดสอบและเปลี่ยนตัวขยายสัญญาณไฟฟ้าทำให้อัตราส่วนการขยายไม่เท่ากัน เมื่อพิจารณาภาพที่ 11 จะพบว่าเมื่อเพิ่มแรงดันน้ำในถังอัดแรงดัน เส้นกราฟความสัมพันธ์ระหว่างการเปลี่ยนแปลงค่าแรงดันไฟฟ้ากับค่าแรงกดที่ต้องการให้คล่องบนโหลดเซลล์ (*Load calculate*) มีแนวโน้มเอียงไปทางซ้าย และเมื่อพิจารณาภาพที่ 12 จะเห็นได้ว่าความชันเส้นกราฟในแต่ละการทดสอบมีลักษณะเพิ่มขึ้นอย่างชัดเจนเมื่อแรงดันน้ำในถังเพิ่มขึ้น ซึ่งหมายถึงในจุดที่การเปลี่ยนแปลงค่าแรงดันไฟฟ้าเดียว กัน จะต้องใช้แรงกดลงบนโหลดเซลล์ (*Load calculate*) ที่คำนวณจากสมการที่ 2 มากขึ้นเมื่อแรงดันน้ำในถังมีค่าสูงขึ้น นั้นเป็นผลมาจากการเปลี่ยนแปลงในแรงดันน้ำในถังมีค่าเพิ่มขึ้นได้ 2 ตำแหน่งดังแสดงในภาพที่ 10 ซึ่งค่าแรงเสียดทานดังกล่าวจะแปรผันตรงกับค่าแรงดันที่เพิ่มขึ้นเนื่องจากระบบซีลล์ (Seal) ของระบบกอล์ฟนิวเมติกนั้นมีคุณสมบัติพิเศษคือ ยิ่งมีแรงดันมากกระทำมากขึ้นเท่าไหร่ ระบบซีล ก็จะกดกับผิวสัมผัสให้แน่นยิ่งขึ้นทำให้ค่าแรงเสียดทานที่เกิดขึ้นมีค่าเพิ่มขึ้นไปด้วย

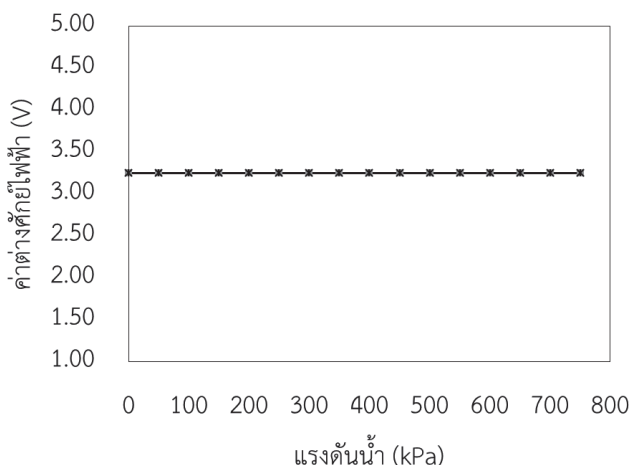


ภาพที่ 11 ความสัมพันธ์ระหว่างค่าแรงกดในแนวตั้งกับความต่างศักย์ไฟฟ้าที่ค่าแรงดันน้ำแตกต่างกัน

อย่างไรก็ตามเพื่อคลายข้อสงสัยว่าโหลดเซลล์นี้ มีผลกระทบใดๆ ต่อแรงดันน้ำที่เปลี่ยนแปลงไปหรือไม่ ดังนั้นจึงได้มีการทดสอบเพิ่มเติมโดยพิจารณาเฉพาะผลกระทบของแรงดันน้ำที่มีผลต่อสัญญาณไฟฟ้าของโหลดเซลล์ เริ่มจากการถอดแหล่งไฟฟ้าออก ของโหลดเซลล์ เริ่มจากการถอดแหล่งไฟฟ้าออก ที่หน้าที่กดโหลดเซลล์ออกไป จากนั้นเพิ่มแรงดันลมให้กับระบบทอกนิวเมติกที่ 800 kPa ดังนั้นปลายระบบกอล์ฟจะยืดตัวจนสุดและอยู่นิ่งกับที่โดยไม่มีแรงกระทำใดๆ ด้านบน จากนั้นทำการเพิ่มแรงดันเข้าไปในถังอัดแรงดันตั้งแต่ 0-750 kPa โดยการทำครั้งละ 50 kPa ผลปรากฏว่าแรงดันน้ำที่เปลี่ยนแปลงไปไม่มีผลใดๆ กับค่าความต่างศักย์ไฟฟ้าที่ออกมายังโหลดเซลล์ดังแสดงในภาพที่ 13 ดังนั้นโหลดเซลล์นี้จึงไม่มีผลกระทบใดๆ เมื่อแรงดันน้ำรอบข้างเปลี่ยนแปลง



ภาพที่ 12 ความสัมพันธ์ระหว่างความชื้นของกราฟในแต่ละผลการทดสอบกับค่าแรงดันน้ำที่กระทำกับໂหลດເຊෙල්



ภาพที่ 13 ผลกระทบของแรงดันน้ำที่มีผลต่อสัญญาณไฟฟ้าจากของໂหลດເຊෙල්

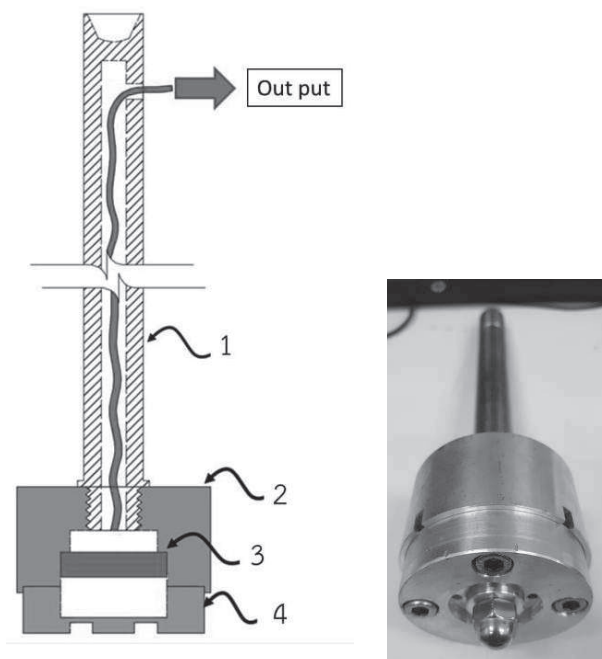
5. การศึกษาผลกระทบเนื่องจากแรงเสียดทานต่อการวัดค่าแรงในแนวตั้ง

จากหัวข้อที่ผ่านมา งานวิจัยนี้ได้ศึกษาในเรื่องผลกระทบของแรงดันน้ำที่มีผลต่อการวัดแรงในแนวตั้งของໂหลດເຊෙල්ที่แรงดันน้ำที่ได้ออกแบบและประดิษฐ์ขึ้น ในหัวข้อนี้จะกล่าวถึงการนำเอาໂหลດເຊෙල්ไปติดตั้งในເຊෙල්ทดสอบการรับแรงเฉือนของดินแบบสามแgn และทำการศึกษาผลกระทบของแรงเสียดทานที่มีผลต่อการ

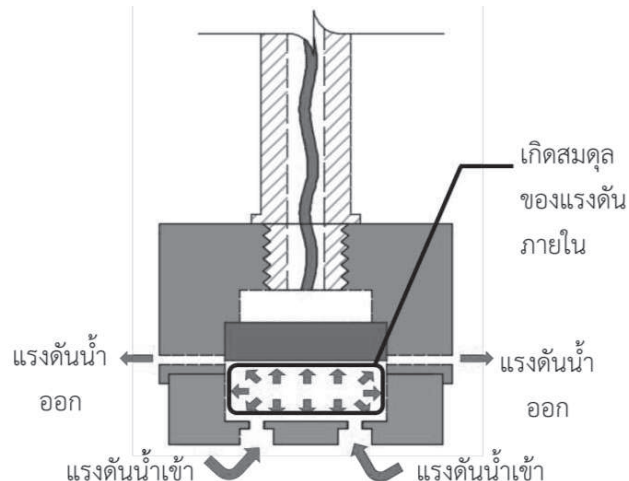
วัดแรงในแนวตั้ง แต่กลับพบว่าไม่สามารถทำได้เนื่องจากไม่สามารถนำสัญญาณไฟฟ้าออกมาจากເຊෙල්ทดสอบได้ดังนั้นจึงได้มีการออกแบบและประดิษฐ์ໂหลດເຊෙල්ตัวใหม่ที่สามารถนำสัญญาณไฟฟ้าจากໂหลດເຊෙල්ออกมาได้อย่างสะดวกดังแสดงในภาพที่ 14 ໂหลດເຊෙල්แบบใหม่นี้จะมีรูปทรงเป็นวงกลมโดยแท่งกดด้านบน (หมายเลข 1 ในภาพที่ 14) นั้นทำมาจากสแตนเลสเกรด 304 ที่เจาะรูรั้วตลอดเพื่อจะสามารถร้อยสายสัญญาณไฟฟ้าเข้าไปได้ ที่ผิวด้านข้างจะเจียร์เงิน (Grinding) ให้เรียบเพื่อลดแรงเสียดทานโดยหมายเลข 2 คือ ฝาครอบกันน้ำมีหน้าที่ป้องกันไม่ให้น้ำไหลเข้ามาในสายสัญญาณและใช้เป็นตัวยึดชี้น้ำส่วนวัดแรงและสะพานไฟ (หมายเลข 4 และ 3 ตามลำดับ) หมายเลข 3 คือสะพานไฟ ทำมาจากวัสดุที่เป็นอนุวัติไฟฟ้าและมีความแข็งแรงเพียงพอที่จะต้านทานแรงดันน้ำ ซึ่งในการศึกษานี้จะใช้อะคริลิกที่ถูกฝังด้วยสกรูขนาด 4 มิลลิเมตร จำนวน 4 ตัว ที่ผิวสัมผัสระหว่างอะคริลิกกับสกรูจะทำการป้องกันการร้าวซึ่มด้วยเทปพันเกลียวอุปกรณ์นี้มีหน้าที่นำสัญญาณจากชุดสเตตูนเงจส่งไปที่สายสัญญาณโดยไม่ทำให้เกิดการลัดวงจรและการร้าวซึ่มน้ำ และหมายเลข 4 คือ ชี้น้ำส่วนวัดแรงที่จะต้องออกแบบขนาดและนำเข้าชุดสเตตูนเงจมาติดตั้ง

โดยการออกแบบจะออกแบบให้ระบบนำมีการให้เหล้าและออกดังแสดงในภาพที่ 15 เมื่อแรงดันน้ำคงที่ชี้น้ำส่วนวัดแรงจะอยู่ในสมดุลจากแรงดันน้ำภายนอกและภายในตัวໂหลດເຊෙල් ทำให้ไม่เกิดการเสียรูปในจุดวัดแรงดังนั้นในทางทฤษฎีจะไม่เกิดการเปลี่ยนแปลงค่าแรงดันไฟฟ้าที่ออกมาจากชุดสเตตูนเงจอันเนื่องจากแรงดันน้ำที่เปลี่ยนแปลงไปภายในເຊෙල්ทดสอบ การหาขนาดความหนาของจุดวัดแรงที่เหมาะสมจะอาศัยหลักการวิเคราะห์ทั้งหมดที่กล่าวมาในตอนต้นโดยภาพที่ 16 แสดงวิธีการใส่เงื่อนไขสภาพแวดล้อมและภาพที่ 17 แสดงให้เห็นจุดที่เกิดความคืบดึงและอัดสูงสุดเมื่อชี้น้ำส่วนวัดแรงรับแรงกระทำสูงสุดซึ่งการวิเคราะห์จะทำด้วยระบบเบี่ยบవิธีไฟน์ต์ເອລිມෙන්ต

การวิเคราะห์จะทำการเปลี่ยนแปลงเฉพาะความหนาของจุดดัดแรง จากนั้นจะทำการหาค่าแรงกระทำสูงสุดที่ทำให้ขึ้นส่วนวัดแรงเกิดแรงเค้นสูงสุดใกล้เคียงความเค้นที่จุดคลาก (Yield Stress) ของวัสดุ ซึ่งในการศึกษานี้ ขึ้นส่วนวัดแรงทำมาจากอลูมิเนียมเกรด 7075 ซึ่งสามารถรับความเค้นที่จุดคลากได้เท่ากับ 503 MPa จากผลการวิเคราะห์เพื่อหาความสัมพันธ์ระหว่างความหนาของจุดดัดแรงกับแรงกดสูงสุดนั้นแสดงในภาพที่ 18 ซึ่งจะได้ออกมาเป็นสมการความสัมพันธ์ โดยในการออกแบบนี้ต้องการให้โหลดเฉลล์สามารถรับแรงกดสูงสุดเท่ากับ 5 kN โดยไม่ทำให้วัสดุเกิดการเสียรูปถาวร แล้วเพิ่มความหนา 30% เพื่อเป็นสัดส่วนความปลอดภัย ดังนั้นจะใช้ความหนาเท่ากับ $t = 1.9 \text{ mm}$ หรือ 2.0 mm

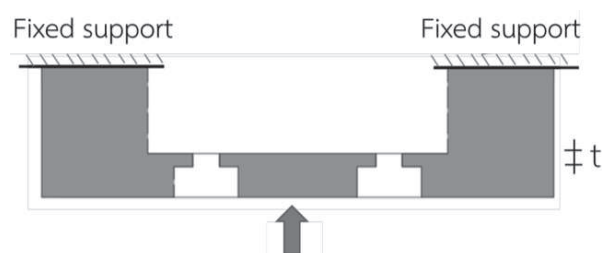


ภาพที่ 14 โหลดเฉลล์ทันแรงดันน้ำที่สามารถบรรจุเข้าไปในเฉลล์ทดสอบการรับแรงเฉือนของดินแบบสามแgn

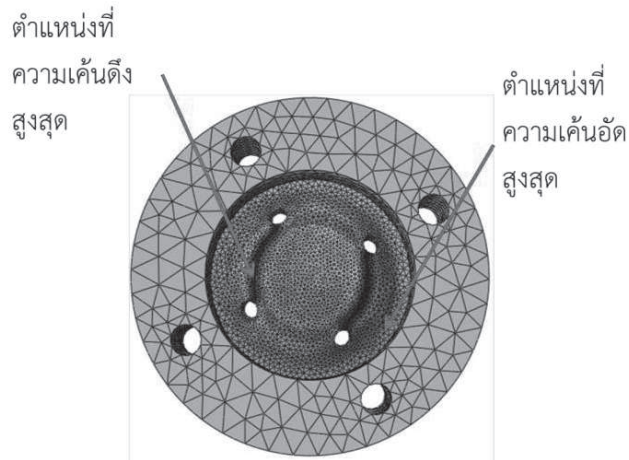


ภาพที่ 15 โหลดเฉลล์เมื่อถูกแรงดันน้ำกระทำเท่ากันทุกทิศทาง

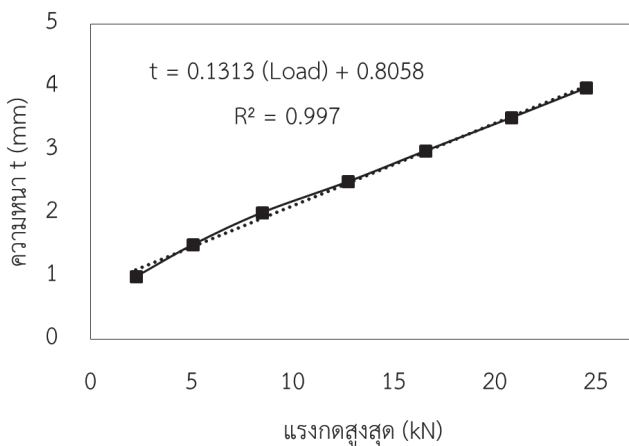
หลังจากการประกอบโหลดเฉลล์แล้วจะต้องมีการทดสอบการรั่วซึมของน้ำซึ่งใช้อุปกรณ์ดังแสดงในภาพที่ 19 การทดสอบนี้จะทำการสร้างแรงดันน้ำขนาด 500 kPa ด้วย Bladder ผ่าน Volume Change Unit และเข้าสู่เฉลล์ทดสอบที่ติดตั้งชุดประกอบโหลดเฉลล์แล้ว จากนั้นคงค้างแรงดันน้ำทิ้งไว้ 24 ชั่วโมง โดยสามารถอ่านค่าปริมาณการรั่วซึมได้จากอุปกรณ์วัดปริมาณการไหลของน้ำ (Volume Change Unit) จากการทดสอบพบว่าไม่มีการรั่วซึมของน้ำ



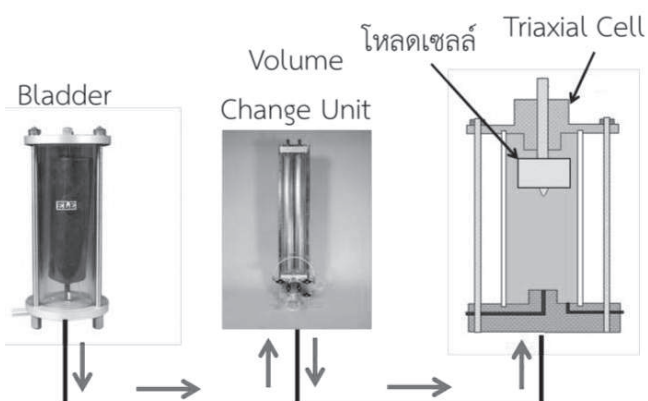
ภาพที่ 16 เงื่อนไขสภาพแวดล้อมที่ใช้ในการวิเคราะห์ด้วยระเบี่ยบวิธีไฟโนต์เอลิเมนต์ของโหลดเฉลล์แบบที่ 2



ภาพที่ 17 ลักษณะการเติมรูปจากการวิเคราะห์ด้วยระบบวิธีไฟโนต์เอลิเมนต์ของโหลดเซลล์แบบที่ 2

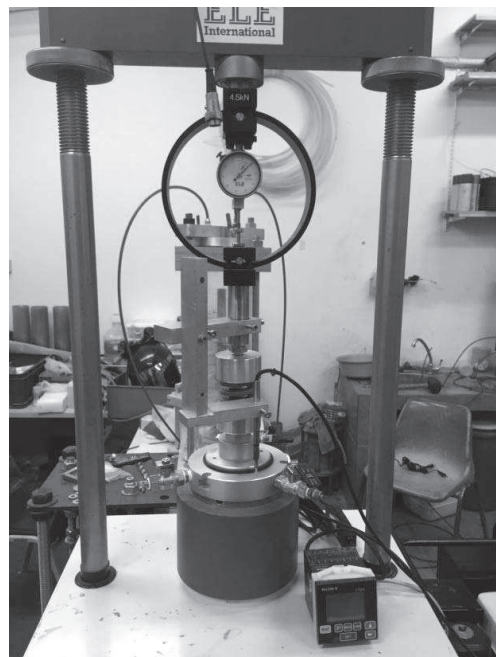


ภาพที่ 18 ความสัมพันธ์ระหว่างค่าแรงกดสูงสุดกับความหนาของจุดวัดแรง



ภาพที่ 19 การทดสอบการรั่วซึมของน้ำ

การสอบเทียบโหลดเซลล์ที่ติดตั้งอยู่ภายในเซลล์ทดสอบแรงเนื้องของตินแบบสามแกนได้อย่างถูกต้องนั้น ในงานวิจัยนี้ใช้สปริงที่มีความยืดหยุ่นสูงนำมาติดตั้งไว้ภายในเซลล์ทดสอบ และเพื่อที่จะสามารถทราบค่าแรงกดที่เกิดขึ้นกับสปริง จะต้องทำการสอบเทียบการรับแรงกดของสปริงกับมาตรฐานวัดแรงแบบวงแหวน (Proving Ring) เพื่อหาความสัมพันธ์ระหว่างค่าการยุบตัวของสปริงกับแรงกดในแนวตั้งดังแสดงในภาพที่ 20 จากผลการสอบเทียบพบว่าสปริงมีความเป็นเส้นตรงตีมากโดยได้ค่า $R^2 = 0.9984$

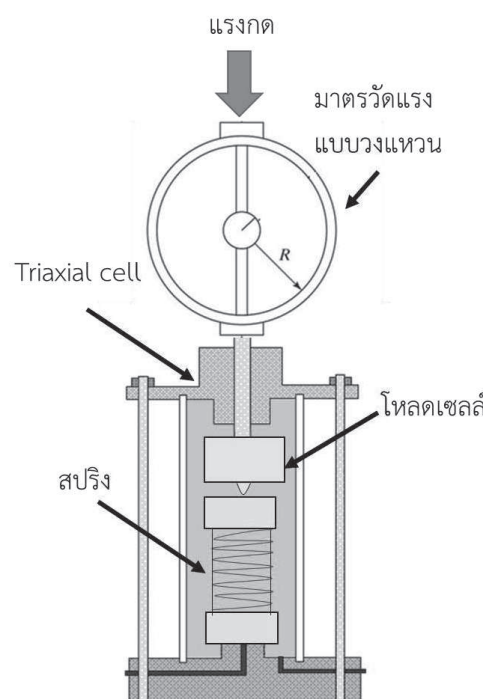


ภาพที่ 20 การสอบเทียบสปริงกับมาตรฐานวัดแรงแบบวงแหวน

จากนั้นจะทำการประกอบชิ้นส่วนเข้าไปในเซลล์ทดสอบดังแสดงในภาพที่ 21 เพื่อทำการสอบเทียบ หาความสัมพันธ์ระหว่างความต่างศักย์ไฟฟ้าที่ออกมานอกโหลดเซลล์กับแรงกดของสปริงและเพื่อศึกษาผลกระทบของแรงเสียดทานที่มีผลต่อการวัดค่าแรงในแนวตั้ง ในการทดสอบนี้จะใช้ค่าแรงกดสูงสุดที่ 2.5 kN เนื่องจากหากมากกว่านี้ ระยะการยุบตัวของสปริงจะเกินระยะสูงสุดที่

อุปกรณ์วัดการทรุดตัวที่ใช้จะวัดได้ ผลจากการทดสอบที่ค่าแรงดันบรรยากาศพบว่าความต่างศักย์ไฟฟ้าที่อุกมาจากโหลดเซลล์กับค่าแรงกดที่อ่านได้จากสปริงนั้นมีความสัมพันธ์เป็นเส้นตรงดีและมีค่า $R^2 = 0.9985$ ดังนั้นโหลดเซลล์ที่ถูกออกแบบขึ้นมาใหม่นี้มีความเป็นเส้นตรงดีมาก ส่วนผลกระทบของแรงเสียดทานที่มีผลต่อการวัดแรงในแนวตั้งที่เกิดขึ้นจริงภายในเซลล์ทดสอบนั้นทำได้โดยการเปรียบเทียบค่าแรงกดที่อ่านได้จากสปริงซึ่งบรรจุอยู่ภายในเซลล์ทดสอบกับค่าแรงกดที่อ่านได้จากมาตรวัดแรงแบบวงแหวนที่ติดตั้งไว้ภายนอก การที่สปริงติดตั้งอยู่ภายในเซลล์ทดสอบทำให้การวัดแรงกดผ่านสปริงจะไม่ได้รับผลกระทบใดๆ จากแรงเสียดทานที่เกิดขึ้นและถือว่าเป็นแรงประสีทิพลซึ่งเปรียบเสมือนแรงกดที่เกิดขึ้นจริงในตัวอย่างดินระหว่างทำการเฉือน แต่ต่างจากมาตรวัดแบบวงแหวนที่ถูกติดตั้งไว้ภายนอกและจะได้รับผลกระทบจากแรงเสียดทานอย่างหลีกเลี่ยงไม่ได้ โดยผลการทดสอบแสดงในภาพที่ 22 พบว่าความผิดพลาดที่เกิดขึ้นในการวัดแรงกดในแนวตั้งแบบการเพิ่มขึ้นของแรง (Loading) เกิดขึ้นระหว่าง 0 - 0.3% ซึ่งถือว่าน้อยมาก แต่สำหรับช่วงการลดลงของแรงกด (Unloading) จะพบว่าค่าของแรงกดที่เกิดขึ้นในสปริงจะมีค่ามากกว่าค่าแรงกดที่อ่านได้จากมาตรวัดแรงแบบวงแหวนซึ่งติดตั้งไว้ภายนอกเซลล์ทดสอบโดยความผิดพลาดในช่วงนี้มีค่าอยู่ระหว่าง 0 - 5% ซึ่งมากกว่าช่วงการเพิ่มขึ้นของแรงกดอย่างมีนัยสำคัญและสามารถอธิบายจากหลักการสมดุลของแรงในแนวตั้งเมื่อทิศทางการเคลื่อนที่ของแท่งกุดและโหลดเซลล์เกิดการสลับทิศทางกันอันทำให้ทิศทางของแรงเสียดทานที่ผิวสัมผัสเกิดการสลับทิศด้วยเช่นกัน (แรงเสียดทานจะมีทิศทางตรงข้ามกับการเคลื่อนที่) จากผลการทดสอบนี้พบว่า อิทธิพลของแรงเสียดทานในช่วงการลดลงของแรงกดนั้นมีมากกว่าช่วงการเพิ่มขึ้นของแรงกด สำหรับการทดสอบนี้ไม่มีอิทธิพลของแรงเสียดทาน เนื่องจากการวัดแรงจะทำในสภาพหยุดนิ่ง เท่านั้น ดังนั้นในกรณีที่นำเซลล์ทดสอบดังกล่าวไปทดสอบ

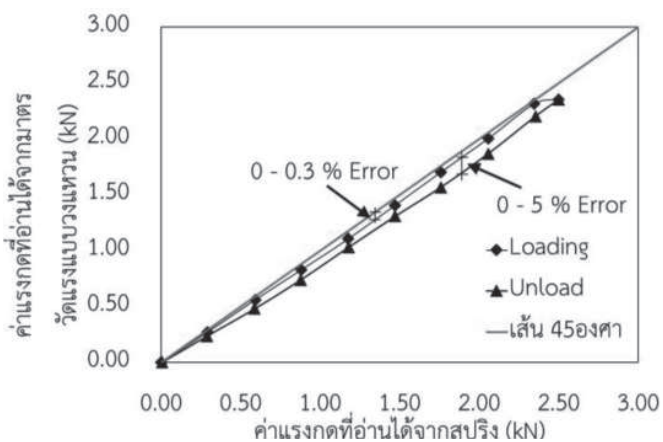
ทรายหลวม (Loose Sand) หรือ ดินเหนียวอัดตัวปกติ (NC-Clay) ถ้าติดตั้งอุปกรณ์วัดแรงไวนิลยานอก ผลที่ได้ยัง มีความถูกต้องแม่นยำดี แต่ถ้าในกรณีที่เป็นทรายแน่นหรือ ดินเหนียวชนิดอัดตัวมากกว่าปกติ (OC-Clay) ผลกระทบ ในช่วง Hardening นั้นจะค่อนข้างน้อยแต่จะส่งผลอย่าง ชัดเจนในการวัดแรงช่วง Softening



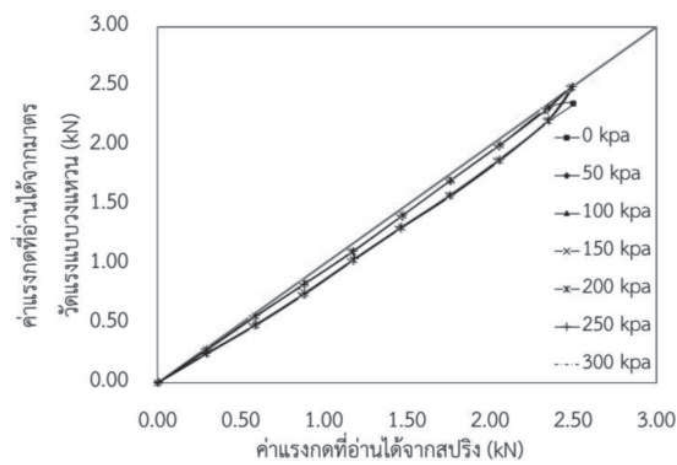
ภาพที่ 21 การสอบเทียบโภลเดชล์และหาผลกระทบของแรงเสียดทานต่อการวัดแรงในแนวตั้ง

นอกจากนั้นยังได้มีการทดสอบผลกระทบของแรงดันน้ำต่อความผิดพลาดของการวัดแรงในแนวตั้งเนื่องจากแรงเสียดทานซึ่งผลได้แสดงในภาพที่ 23 พบว่าแรงดันน้ำภายในเซลล์ทดสอบที่เปลี่ยนไปไม่มีผลกระทบใดๆ ต่อความผิดพลาดในการวัดแรงในแนวตั้งเนื่องจากแรงเสียดทาน และสุดท้ายจะเป็นการตรวจสอบผลกระทบของแรงดันน้ำที่มีต่อประสิทธิภาพการวัดแรงในแนวตั้งของโอลด์เซลล์ที่ได้ทำการออกแบบขึ้นมาใหม่ จากภาพที่ 24 พบว่าโอลด์เซลล์มีความแม่นยำ (Accuracy) และเป็น

เส้นตรงดีโดยสามารถพิจารณาได้จากค่า $R^2 = 0.9984$ และการติดตั้งโหลดเซลล์ไว้ภายในเซลล์ทดสอบสามารถจำกัดความผิดพลาดเนื่องจากแรงเสียดทานได้อย่างมีประสิทธิภาพโดยที่แรงดันน้ำที่เปลี่ยนไปไม่มีผลกระทบใดๆ ต่อประสิทธิภาพของการวัดแรงในแนวตั้งเนื่องจากความสัมพันธ์ระหว่างค่าการเปลี่ยนแปลงความต่างศักย์ไฟฟ้าที่ค่าแรงดันน้ำแตกต่างกันกับค่าแรงกดที่อ่านได้จากสปริงไม่มีการเปลี่ยนแปลงและค่าความชันของเส้นกราฟค่อนข้างคงที่ ซึ่งจากค่าความชันเหลี่ยมและการหาขนาดความกว้างของสัญญาณรบกวน (Noise) สามารถนำไปใช้คำนวณค่าความละเอียด (Resolution) ซึ่งคำนวณได้เท่ากับ 0.048% ของแรงกระทำสูงสุดที่ออกแบบไว้ โดยที่โหลดเซลล์ทั่วไปตามท้องตลาดส่วนใหญ่จะมีค่าความละเอียดอยู่ที่ 0.05% ซึ่งเป็นค่าที่ยอมรับได้และใช้งานกันอย่างกว้างขวาง

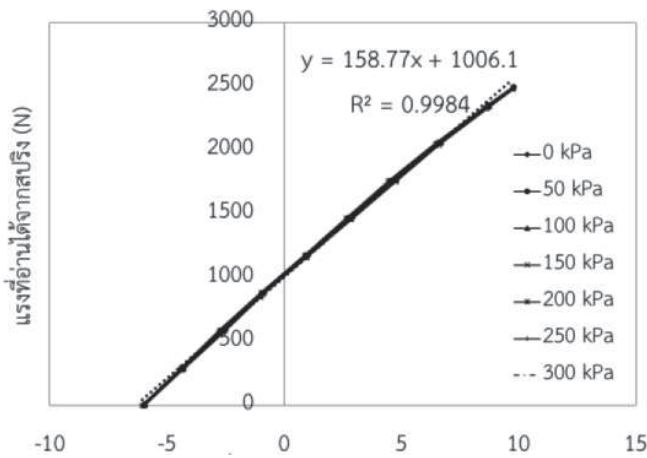


ภาพที่ 22 ผลกระทบของแรงเสียดทานที่มีผลต่อการวัดแรงในแนวตั้งที่ค่าแรงดันน้ำเท่ากับ 0 kPa



ภาพที่ 23 ผลกระทบของแรงเสียดทานที่มีผลต่อการวัดแรงในแนวตั้งที่ค่าแรงดันน้ำเท่ากับ 0 ถึง 300 kPa

เมื่อทำการเบรียบเทียบภาพที่ 24 กับภาพที่ 11 จะพบว่าวิธีการทดสอบโดยการใช้แรงกดจากเฟรมทดสอบแล้วทำการอ่านค่าแรงกดประสิทธิผลจากสปริงโดยตรงนั้นให้ผลที่ดีกว่าการคำนวณค่าแรงกดจากสมการที่ 2 อย่างมาก เนื่องจากสปริงไม่มีผลกระทบของแรงเสียดทานเนื่องจากแรงดันภายในเซลล์ทดสอบซึ่งแตกต่างกันอย่างมากกับระบบอกลมนิวเมติกที่จะเกิดผลกระทบอย่างชัดเจนเมื่อแรงดันภายในถังทดสอบเปลี่ยนไป ดังนั้นการสอบเทียบโดยการบรรจุสปริงเข้าไปในเซลล์ทดสอบเพื่อเป็นตัวเทียบแรงกดมาตรฐานจะให้ค่าแรงกดที่กระทำต่อโหลดเซลล์ที่ถูกต้องและแม่นยำกว่า



ภาพที่ 24 ความสัมพันธ์ระหว่างค่าแรงกดในแนวตั้งกับความต่างศักย์ไฟฟ้าที่ค่าแรงดันน้ำแตกต่างกัน

6. สรุปผล

จากผลการศึกษาสามารถสรุปผลได้ดังต่อไปนี้

1) โหลดเซลล์ที่ทำการประดิษฐ์ขึ้นมาสำหรับทดสอบต่อกันน้ำได้และไม่มีผลกระทบใดๆ จากแรงดันน้ำที่เปลี่ยนแปลงไป รวมทั้งมีความแม่นยำและความละเอียดเพียงพอที่จะนำไปใช้งานได้

2) โหลดเซลล์ที่นำเสนอนำมาใช้กับเครื่องทดสอบหาแรงเฉือนของดินแบบสามแgnได้อย่างมีประสิทธิภาพและมีต้นทุนต่ำประมาณ 4,000 บาท อีกทั้งยังสามารถนำเอารหัสการที่ใช้ในการออกแบบนี้ไปออกแบบโหลดเซลล์ขนาดอื่นๆ ที่เหมาะสมกับการทำสอบนั้นๆ ได้ต่อไปในอนาคต

3) การบรรจุโหลดเซลล์เข้าไปในเซลล์ทดสอบนั้นสามารถกำจัดข้อผิดพลาดในการวัดแรงเนื่องจากแรงเสียดทานและทำให้ได้ผลการทดสอบที่ถูกต้องแม่นยำมากยิ่งขึ้น

4) การคำนวณแรงกระทำของระบบอุกเคลมนิวเมติกนั้นเป็นเรื่องยากและมีความผิดพลาดสูง ไม่เหมาะสมที่จะนำไปใช้เป็นค่าแรงกดมาตรฐานในการสอบเทียบ

5) ความผิดพลาดที่เกิดขึ้นในการวัดแรงกดในแนวตั้ง เมื่อติดตั้งอุปกรณ์วัดแรงไว้ภายนอกเซลล์ทดสอบแบบการเพิ่มขึ้นของแรง (Loading) จะเกิดขึ้นอยู่ระหว่าง 0 - 0.3%

และในช่วงการลดลงของแรงกด (Unloading) จะเกิดขึ้นอยู่ระหว่าง 0 - 5% ซึ่งส่งผลกระทบกับการวัดแรงกดในแนวตั้งค่อนข้างน้อยสำหรับการทดสอบดินเหนียวอัดตัวปกติและรายหกวน แต่จะส่งผลกระทบอย่างมากเมื่อใช้ทดสอบดินเหนียวชนิดอัดตัวมากกว่าปกติและรายแน่น

7. ข้อเสนอแนะ

1) ผลกระทบเนื่องจากแรงเสียดทานนั้นจะขึ้นอยู่กับหลายปัจจัย เช่น ขนาดและแรงกดของโอริง (O-Ring) ที่ใช้ป้องกันการรั่วซึมของน้ำ ชนิดและคุณภาพของสารหล่อลื่นที่ใช้ และความเรียบบริเวณผิวสัมผัสระหว่างเซลล์ทดสอบกับแท่งกดตัวอย่าง ดังนั้นเซลล์ทดสอบแต่ละตัวอาจมีผลกระทบเนื่องจากแรงเสียดทานที่แตกต่างกัน

2) ต้องมีการศึกษาเพิ่มเติมในส่วนของความล้า (Fatigue) และการคีบ (Creep) ความคงทนของระบบป้องกันน้ำซึ่งรวมถึงผลเนื่องจากอุณหภูมิที่มีผลต่อประสิทธิภาพของโหลดเซลล์เพิ่มเติม ในกรณีต้องการใช้งานระยะยาวและไม่ต้องการทำการสอบเทียบบ่อยครั้ง

3) ความล้าอีกด้านหนึ่งอยู่กับหลายปัจจัย เช่น คุณภาพของสายดินและสายส่งสัญญาณ ความยาวของสายส่งสัญญาณ อุปกรณ์ใช้ไฟฟ้าอื่นๆ รอบบริเวณที่ทดสอบ คุณภาพของวงจรขยายสัญญาณ รวมถึงกำลังการขยายสัญญาณ

8. บรรณานุกรม

- Kongkitkul W. (2004). Effects of material viscous properties on the residual deformation of geosynthetic-reinforced sand. Ph.D. Thesis. The University of Tokyo, Japan.
- Tatsuoka, F., Sakamoto, M., Kawamura, T. & Fukushima, S. (1986). Strength and deformation characteristics of sand in plane strain compression at extremely low pressures, Soils and Foundations, 26(1), pp. 65-84.
- Lai, J. (2004). Advanced geotechnical laboratory. Department of construction engineering. Chaoyang University of Technology, Taiwan.

- (4) Chao L.P. and Chen K.T. (1997). Shape optimal design and force sensitivity evaluation of six-axis force sensors, International Journal of Sensors and Actuators, 63, pp.105-112.
- (5) สุภกิจ รูปขันธ์ (2547). การศึกษาออกแบบโครงสร้างชุดเซ็นเซอร์ชนิดคอมบิเนชัน โดยวิธีการทดลองและจำลองแบบไฟฟ้าในตัวอย่าง. วิทยานิพนธ์ปริญญา วิศวกรรมมหาบัณฑิต. มหาวิทยาลัยขอนแก่น.
- (6) สราชุธ เรืองกิจธรรมการ (2549). กรณีศึกษาฐานปั๊พแรงของโกลด์เซลล์ โดยใช้เทคนิคของไฟฟ้าในตัวอย่าง. วิทยานิพนธ์ปริญญา วิศวกรรมมหาบัณฑิต. สถาบันเทคโนโลยีพระจอมเกล้าเจ้าคุณทหารลาดกระบัง.
- (7) เพ็มศักดิ์ เกตุวนวม (2550). การออกแบบโครงสร้างโดยไฟฟ้าในตัวอย่าง. วิทยานิพนธ์ปริญญา วิศวกรรมมหาบัณฑิต. มหาวิทยาลัยเกษตรศาสตร์.